



Министерство науки и высшего образования Российской Федерации
федеральное государственное бюджетное образовательное учреждение
высшего профессионального образования
«Московский государственный технический университет имени
Н.Э. Баумана (национальный исследовательский университет)»
(МГТУ им. Н.Э. Баумана)

ФАКУЛЬТЕТ «Робототехники и комплексной автоматизации»
КАФЕДРА «Системы автоматизированного проектирования (РК-6)»

ОТЧЕТ О ВЫПОЛНЕНИИ ЛАБОРАТОРНОЙ РАБОТЫ по дисциплине «Вычислительная математика»

Студент:	Рогалева Юлия Александровна
Группа:	РК6-52Б
Тип задания:	лабораторная работа
Тема:	Интерполяция кубическими сплай- нами и автоматическое дифференци- рование

Студент

подпись, дата

Рогалева Ю.А.
Фамилия, И.О.

Преподаватель

подпись, дата

Фамилия, И.О.

Москва, 2023

Содержание

Интерполяция кубическими сплайнами и автоматическое дифференцирование	3
Задание	3
1 Задание	3
Цель выполнения лабораторной работы	5
1 Формирование файла <code>contours.txt</code>	5
2 Визуализация множества точек P	5
3 Задание разреженного множества интерполяционных узлов	5
4 Получение кубического сплайна	6
5 Вычисление расстояний	8
6 Отображение полученного сплайна	9
7 Разработка основной функции	10
8 Реализация класса <i>AutoDiffNum</i>	10
9 Реализация функции автоматического расчёта первой производной	10
10 Построение нормали к заданному вектору	11
11 Визуализация касательной и нормали	11
12 Решение оптимизационной задачи	12
Заключение	13

Интерполяция кубическими сплайнами и автоматическое дифференцирование

Задание

Множество Мандельброта (фрактал) — удивительное явление широко известное за пределами соответствующей области математики благодаря бесконечному многообразию форм и ярким визуализациям.

Определение 1

Точки фрактала $c \in \mathbb{C}$ в пространстве комплексных чисел определяются рекуррентной формулой, задающей последовательность, ограниченную только для точек, принадлежащих фракталу:

$$\begin{aligned}\forall c \in \mathbb{C}, \quad \exists Z \in \mathbb{R} : |z_i| < Z, i \in \mathbb{N}, \\ z_i &= z_{i-1}^2 + c, \\ z_0 &= 0\end{aligned}\tag{1}$$

1 Задание

Требуется (базовая часть):

1. Используя заранее подготовленный скрипт 1, выбрать произвольную область множества Мандельброта и построить фрагмент его границы (контура), сформировав файл `contours.txt`. Использование неуникального файла `contours.txt` считается списыванием, ровно как и использование чужого кода.

Файл `contours.txt` содержит упорядоченную последовательность точек на плоскости $P = \{(x_i, y_i)\}_{i=1}^N$ принадлежащих выбранному фрагменту границы фрактала c . Сопоставляя каждой паре координат естественную координату t , предполагать, что $x_i = x(t_i)$, $y_i = y(t_i)$. Выбранный контур должен содержать по меньшей мере 100 точек (100 строк в файле `contours.txt`).

2. Разработать код для загрузки и визуализации множества точек P из файла `contours.txt`.
3. Задать разреженное множество интерполяционных узлов: $\hat{P} = \{(x_j, y_j)\}_{j=1}^{\hat{N}}$, где $\hat{N} = \lfloor N/M \rfloor$, $j = M \times i$, $\hat{P} \subset P$. Положить $M = 10$.
4. По каждому измерению найти коэффициенты естественного параметрического кубического сплайна a_{jk} и b_{jk} , путём решения соответствующих разрешающих

СЛАУ, в результате должен получиться сплайн вида:

$$\begin{aligned}\tilde{x}(t) &= \sum_{j=1}^{\hat{N}-1} I_j(t) (a_{j0} + a_{j1}(t - t_j) + a_{j2}(t - t_j)^2 + a_{j3}(t - t_j)^3), \\ \tilde{y}(t) &= \sum_{j=1}^{\hat{N}-1} I_j(t) (b_{j0} + b_{j1}(t - t_j) + b_{j2}(t - t_j)^2 + b_{j3}(t - t_j)^3), \\ I_j(t) &= \begin{cases} 1, & \text{если } t \in [t_j, t_{j+1}) \\ 0, & \text{в противном случае} \end{cases}\end{aligned}\quad (2)$$

где $I_j(t)$ — индикаторная функция принадлежности интервалу.

5. Вычислить расстояния $\rho[(\tilde{x}(t_i), \tilde{y}(t_i)), (x(t_i), y(t_i))]$ и представить вывод (среднее и стандартное отклонение) в отчёте.
6. Отобразить в отчёте полученный сплайн используя $t \in [0, t_N]$ с частым шагом $h = 0.1$ совместно с исходным множеством точек P , а также узловыми точками \hat{P} . С чем связана наблюдаемая ошибка интерполяции? Как её можно уменьшить? Вывод следует привести в отчёте.
7. В результате выполнения базовой части задания, помимо прочих, должна быть разработана функция `lab1_base(filename_in:str, factor:int, filename_out:str)`, где `filename_in` - входной файл `contours.txt`, `factor` - значение параметра M , `filename_out` - имя файла результата (как правило, `coeffs.txt`), содержащего коэффициенты a_{jk} и b_{jk} в виде матрицы размером $\hat{N} - 1$ строк на 8 столбцов. Функция `lab1_base` должна реализовывать базовую часть задания.

Требуется (продвинутая часть):

8. Используя концепцию дуальных чисел $v = a + \epsilon b, \epsilon^2 = 0$, и перегрузку операторов сложения и умножения в Python, необходимо реализовать класс `AutoDiffNum`, для автоматического вычисления производной некоторой функции.
9. Реализовать функцию автоматического расчёта первой производной кубического сплайна $G(t) = \frac{d}{dt}(\tilde{x}(t), \tilde{y}(t))$.
10. Реализовать функцию построения нормали $R(t_j)$ к заданному вектору $G(t_j)$.
11. Построить векторы $G(t_j)$ и $R(t_j)$ в соответствующих точках сплайна, выбрав наглядную частоту прореживания (не менее 5 точек на контур) и масштаб.
12. Опциональное задание. Для каждой пропущенной точки (x_i, y_i) исходного контура найти (численно) ближайшую на соответствующем участке сплайна. Фактически нужно решить оптимизационную задачу:

$$t^* = \operatorname{argmin}_{t \in [0, t_N]} \sqrt{(\tilde{x}(t) - x_i)^2 + (\tilde{y}(t) - y_i)^2}. \quad (3)$$

К примеру, используя простейший метод деления отрезка пополам (дихотомии) до 10 итераций. В отчете необходимо отобразить на графике соответствующие точки, выбрав наглядную частоту прореживания и привести среднюю оценку погрешности. Сравнить результаты с вычисленными ранее значениями $\rho[(\tilde{x}(t_i), \tilde{y}(t_i)), (x(t_i), y(t_i))]$. Все полученные в работе изображения, включаемые в отчет, должны быть сохранены в векторном формате (PDF или EPS и размещены рядом с исходным кодом разработанной программы).

Цель выполнения лабораторной работы

Цель выполнения лабораторной работы: исследование интерполяции данных с использованием кубических сплайнов, реализация продвинутых методов автоматического дифференцирования и оптимизации.

1 Формирование файла contours.txt

Используя заранее подготовленный скрипт, произведено выделение специфической области множества Мандельброта. На основе выбранной области сгенерирован и зафиксирован в файле contours.txt фрагмент границы данного множества.

2 Визуализация множества точек P

Файл contours.txt содержит упорядоченную последовательность точек на плоскости $P = \{(x_i, y_i)\}_{i=1}^N$, представляющую собой контур множества Мандельброта. Разработан код, который осуществляет загрузку и визуализацию данных из файла contours.txt. Полученное множество точек продемонстрировано на рисунке 1.

3 Задание разреженного множества интерполяционных узлов

Множество интерполяционных узлов задаётся следующим образом: $\hat{P} = \{(x_j, y_j)\}_{j=1}^{\hat{N}}$, где $\hat{N} = \lfloor N/M \rfloor$, $j = M \times i$, $\hat{P} \subset P$, $M = 10$ по условию, N — общее количество узлов в исходном множестве P [1]. Для формирования разреженного множества интерполяционных узлов разработана функция select_points (листинг 1). Полученное разреженное множество представлено на рисунке 2.

Листинг 1. Функция для задания разреженного множества точек

```

1 def select_points(x_points, y_points, m): # m = 10
2     selected_x_points = x_points[::m] # выбор каждой m-й точки
3     selected_y_points = y_points[::m]
4     if selected_x_points[-1] != x_points[-1] or selected_y_points[-1] != y_points[-1]:
5         # добавление последнего узла в случае необходимости
6         selected_x_points = np.append(selected_x_points, x_points[-1])
7         selected_y_points = np.append(selected_y_points, y_points[-1])
8     return selected_x_points, selected_y_points

```

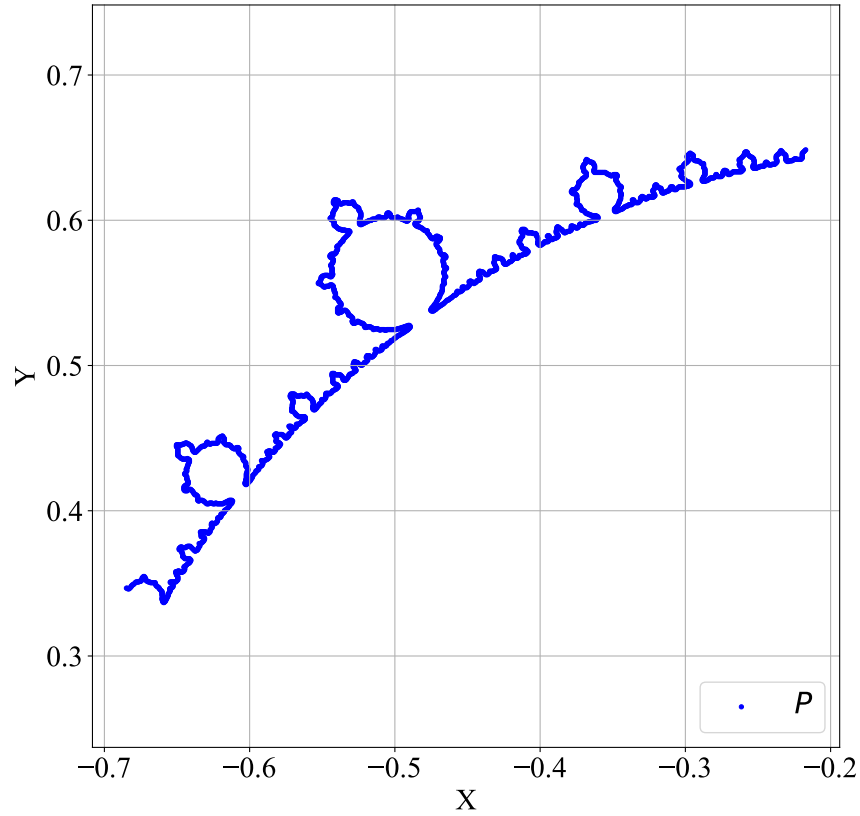


Рис. 1. Визуализация множества точек P

4 Получение кубического сплайна

Определение 2

Пусть функция $f(x)$ задана в n интерполяционных узлах $a = x_1, x_2, \dots, x_n = b$ на отрезке $[a; b]$. Тогда кубическим сплайном для функции $f(x)$ называется функция $S(x)$, для которой верно:

1. $S(x)$ кусочно задана кубическими многочленами $S_i(x)$ на каждом отрезке $[x_i; x_{i+1}]$, $i = 1, \dots, n - 1$;
2. $S_i(x_i) = f(x_i)$ и $S_i(x_{i+1}) = f(x_{i+1})$, $i = 1, \dots, n - 1$;
3. значения смежных многочленов совпадают в общих узлах: $S_i(x_{i+1}) = S_{i+1}(x_{i+1})$, $i = 1, \dots, n - 2$;
4. значения первых производных смежных многочленов совпадают в общих узлах: $S'_i(x_{i+1}) = S'_{i+1}(x_{i+1})$, $i = 1, \dots, n - 2$;
5. значения вторых производных смежных многочленов совпадают в общих узлах: $S''_i(x_{i+1}) = S''_{i+1}(x_{i+1})$, $i = 1, \dots, n - 2$;

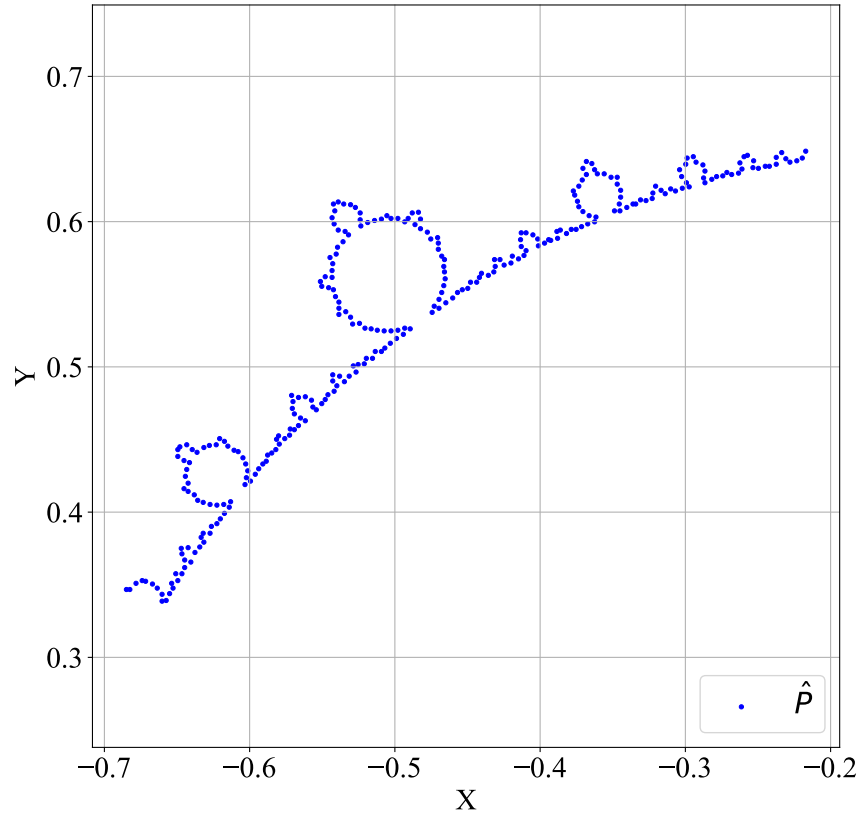


Рис. 2. Визуализация разреженного множества интерполяционных узлов \hat{P}

6. заданы граничные условия:

- естественные граничные условия $S''(x_1) = S''(x_n) = 0$;
- граничные условия на касательную $S'(x_1) = f'(x_1)$ и $S'(x_n) = f'(x_n)$ [2].

Для получения естественного параметрического кубического сплайна (2), необходимо определить натуральные координаты, которые будут равномерно распределены вдоль параметра t . Эти координаты вычисляются от 0 до значения, равного общему количеству узлов в множестве точек, деленному на параметр M . Шаг определяется как произведение значений `factor` и `h`. Параметры M , `factor`, и `h` имеют заранее заданные значения в соответствии с условиями задачи [1]. Расстояния между натуральными координатами определяются вычисления использования разностей между последовательными значениями. Код, реализующий данные действия, представлен в листинге 2.

Листинг 2. Получение естественных координат и расстояний между ними

```

1 t = np.arange(0, points_x.shape[0] / M, factor * h)
2 if t[-1] != points_x.shape[0] / M:
3     t = np.append(t, points_x.shape[0] / M)
4 t_dist = np.diff(t)

```

Коэффициенты естественного параметрического кубического сплайна получают-ся путём решения соответствующих разрешающих систем линейных алгебраических уравнений. Матричное уравнение $\mathbf{A}\mathbf{c} = \mathbf{b}$ для кубического сплайна имеет вид:

$$\begin{bmatrix} 1 & 0 & \dots & \dots & \dots & 0 \\ h_1 & 2(h_2 + h_1) & h_2 & 0 & \dots & 0 \\ 0 & h_2 & 2(h_3 + h_2) & h_3 & \dots & 0 \\ \vdots & \ddots & \ddots & \ddots & \ddots & \vdots \\ 0 & \dots & 0 & h_{n-2} & 2(h_{n-2} + h_{n-1}) & h_{n-1} \\ 0 & \dots & \dots & \dots & \dots & 1 \end{bmatrix} \begin{bmatrix} c_1 \\ c_2 \\ c_3 \\ \vdots \\ c_{n-1} \\ c_n \end{bmatrix} = \begin{bmatrix} 0 \\ \frac{3}{h_2}(a_3 - a_2) - \frac{3}{h_1}(a_2 - a_1) \\ \frac{3}{h_3}(a_4 - a_3) - \frac{3}{h_2}(a_3 - a_2) \\ \vdots \\ \frac{3}{h_{n-1}}(a_n - a_{n-1}) - \frac{3}{h_{n-2}}(a_{n-1} - a_{n-2}) \\ 0 \end{bmatrix}, \quad (4)$$

где a_i, c_i - коэффициенты сплайна, $h_i = x_{i+1} - x_i$.

Коэффициенты a_i, b_i, d_i вычисляются по формулам (5)-(7), а c_i — это элементы вектор-столбца \mathbf{c} , который равен $\mathbf{A}\mathbf{b}^{-1}$.

$$a_i = f(x_i), \quad (5)$$

$$b_i = \frac{1}{h_i}(a_{i+1} - a_i) - \frac{h_i}{3}(c_{i+1} + 2c_i), \quad (6)$$

$$d_i = \frac{c_{i+1} - c_i}{3h_i} [2]. \quad (7)$$

5 Вычисление расстояний

Для вычисления расстояний между точками реального контура и соответствующими точками на сплайне, применяется формула (8).

$$\rho[(\tilde{x}(t_i), \tilde{y}(t_i)), (x(t_i), y(t_i))] = \sqrt{(\tilde{x}(t_i) - x(t_i))^2 + (\tilde{y}(t_i) - y(t_i))^2} \quad (8)$$

В листинге 3 представлен код, выполняющий вычисление расстояний между каждой парой точек на множестве P и соответствующей точке на сплайне $S(t)$. Затем для полученных расстояний вычисляются среднее и стандартное отклонение.

Листинг 3. Вычисление расстояния ρ , среднего и стандартного отклонения

```

1 distance = []
2 for real_x, real_y, approx_x, approx_y in zip(points_x, points_y, spline_x, spline_y):
3     d = ((real_x - approx_x) ** 2 + (real_y - approx_y) ** 2) ** 0.5
4     distance.append(d)
5 print("Среднее отклонение:", np.array(distance).mean())
6 print("Стандартное отклонение:", np.array(distance).std())

```

Полученные результаты для рассматриваемого контура следующие:
Среднее отклонение: 0.0005268200716338058
Стандартное отклонение: 0.00040686144658110197

6 Отображение полученного сплайна

Пусть естественный параметрический кубический сплайн будет обозначен следующим образом: $S(t) = (\tilde{x}(t), \tilde{y}(t))$. Используя параметр $t \in [0, t_N]$ с частым шагом $h = 0.1$ и учитывая исходное множество точек P вместе с узловыми точками \hat{P} , формируется график, который представлен на рисунке 3.

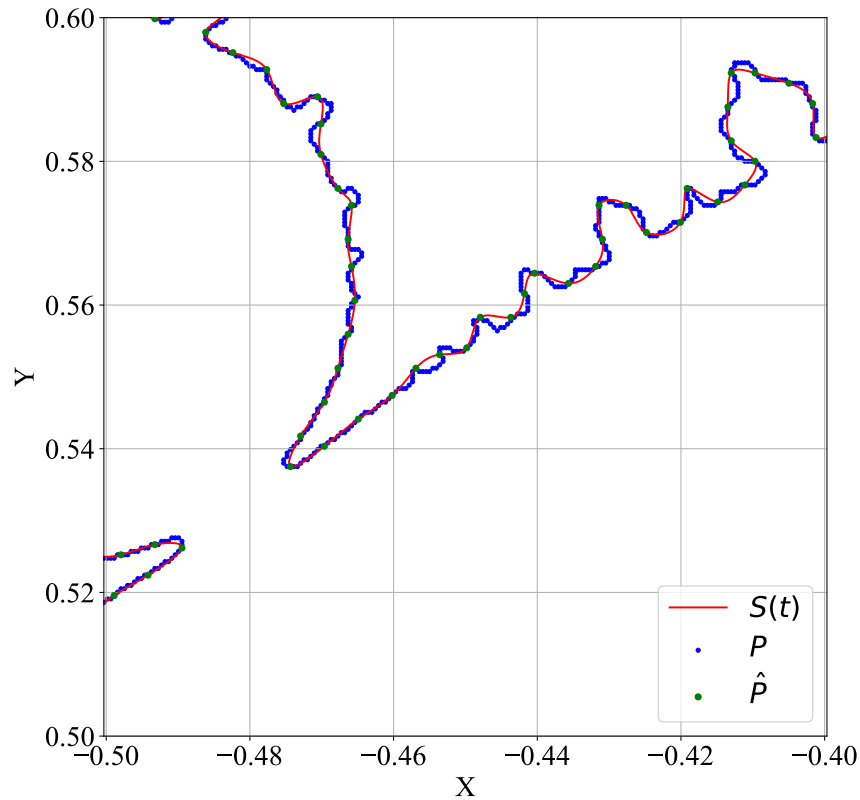


Рис. 3. Визуализация полученных сплайнов $S(t)$, исходного множества точек P и множества интерполяционных узлов \hat{P}

Наблюдаемая ошибка интерполяции связана со сложной формой фрактала. Она является естественным результатом ограниченности выбора узлов и степени интерполяционного полинома. Уменьшение ошибки требует баланса между увеличением числа узлов и использованием более сложных методов интерполяции.

7 Разработка основной функции

Реализована функция `lab1_base(filename_in:str, factor:int, filename_out:str)`, где `filename_in` — входной файл `contours.txt`, `factor` — значение параметра M , `filename_out` — имя файла результата (по умолчанию `coeffs.txt`), содержащего коэффициенты a_{jk} и b_{jk} в виде матрицы размером $\hat{N} - 1$ строк на 8 столбцов.

8 Реализация класса *AutoDiffNum*

Определение 3

Дуальным числом $\langle a, b \rangle$ называется число, представимое парой чисел $a, b \in \mathbb{R}$, так что

$$\langle a, b \rangle = a + b\epsilon, \quad (9)$$

где ϵ — такое бесконечно малое число, что $\epsilon^2 = 0$ и $\epsilon \neq 0$.

Таким образом, для реализации класса *AutoDiffNum* требуется задать 2 поля, обозначающие действительную и мнимую часть дуального числа, а также перегрузку операторов сложения и умножения (листинг 4).

Листинг 4. Реализация класса *AutoDiffNum*

```
1 class AutoDiffNum:
2     def __init__(self, a, b=0):
3         self._a = a
4         self._b = b
5     def __add__(self, other):
6         if isinstance(other, AutoDiffNum):
7             return AutoDiffNum(self._a + other._a, self._b + other._b)
8         return AutoDiffNum(self._a + other, self._b)
9     def __mul__(self, other):
10        if isinstance(other, AutoDiffNum):
11            return AutoDiffNum(self._a * other._a, self._a * other._b + self._b *
                                other._a)
12        return AutoDiffNum(self._a * other, self._b * other)
```

9 Реализация функции автоматического расчёта первой производной

Пусть $f(x)$ является аналитической функцией на замкнутом интервале $x \in [\alpha; \beta]$ и $\langle a, b \rangle$ является дуальным числом. Тогда $f(\langle a, b \rangle) = f(a) + b\epsilon f'(a)$. Благодаря этому свойству можно вычислить значения функции и ее производной, положив $\alpha = t[i]$, где $t[i]$ — это значение параметра t в некоторой точке, а $\beta = 1$.

Реализация функции автоматического расчёта первой производной кубического сплайна $G(t) = \frac{d}{dt}(\tilde{x}(t), \tilde{y}(t))$ представлена в листинге 5.

Листинг 5. Реализация функции автоматического дифференцирования

```
1 def spline_deriv(ax, bx, cx, dx, ay, by, cy, dy, t_j, t):
2     dxdt = (t - t_j) * (t - t_j) * (t - t_j) * dx + (t - t_j) * (t - t_j) * cx + (t - t_j)
        * bx + ax
3     dydt = (t - t_j) * (t - t_j) * (t - t_j) * dy + (t - t_j) * (t - t_j) * cy + (t - t_j)
        * by + ay
4     return dxdt._b, dydt._b
```

10 Построение нормали к заданному вектору

Формула (10) представляет собой функцию нормали $R(t)$ к заданному вектору $G(t)$.

$$R(t) = \begin{bmatrix} 0 & -1 \\ 1 & 0 \end{bmatrix} \begin{bmatrix} \frac{d\tilde{x}(t)}{dt} \\ \frac{d\tilde{y}(t)}{dt} \end{bmatrix} = \begin{bmatrix} -\frac{d\tilde{y}(t)}{dt} \\ \frac{d\tilde{x}(t)}{dt} \end{bmatrix}. \quad (10)$$

11 Визуализация касательной и нормали

Результат построения векторов $G(t_j)$ и $R(t_j)$ в соответствующих точках сплайна на некотором участке изображен на рисунке 4.

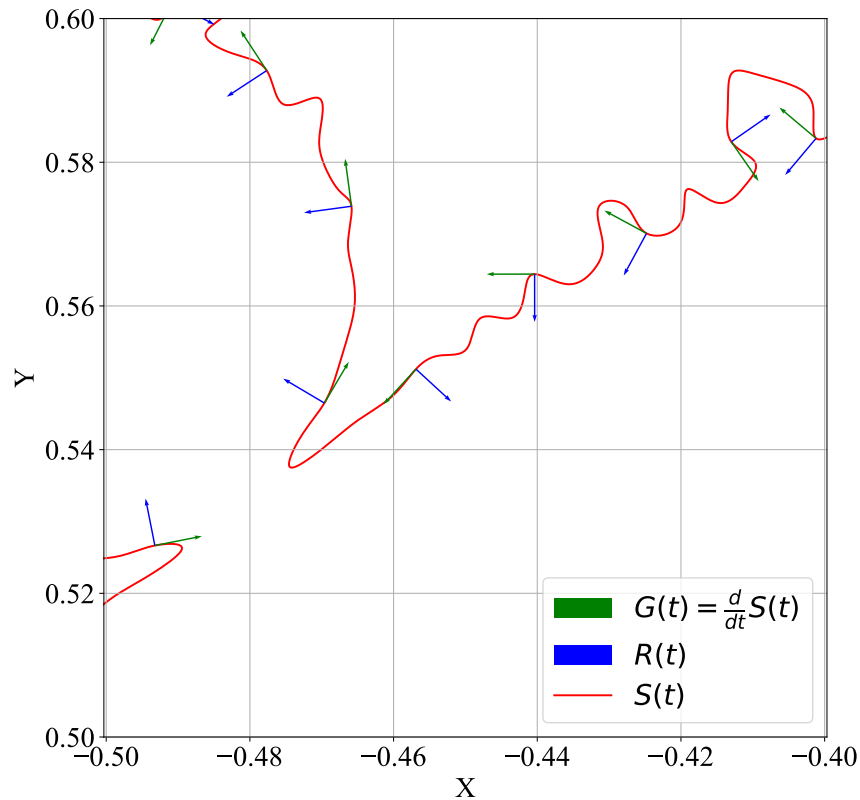


Рис. 4. Векторы $G(t)$ и нормаль $R(t)$ в некоторых точках сплайна

12 Решение оптимизационной задачи

Решение оптимизационной задачи заключается в том, что для каждой пропущенной точки (x_i, y_i) исходного контура необходимо найти (численно) ближайшую на соответствующем участке сплайна (3).

Для каждой пропущенной точки (x_i, y_i) контура вычисляется ближайшая точка на сплайне путем решения оптимизационной задачи, представленной в формуле (3), с использованием тернарного метода до десяти итераций. Полученное множество ближайших точек обозначается как P^* .

График, иллюстрирующий ближайшие пропущенные точки и точки на сплайне, представлен на рисунке 5.

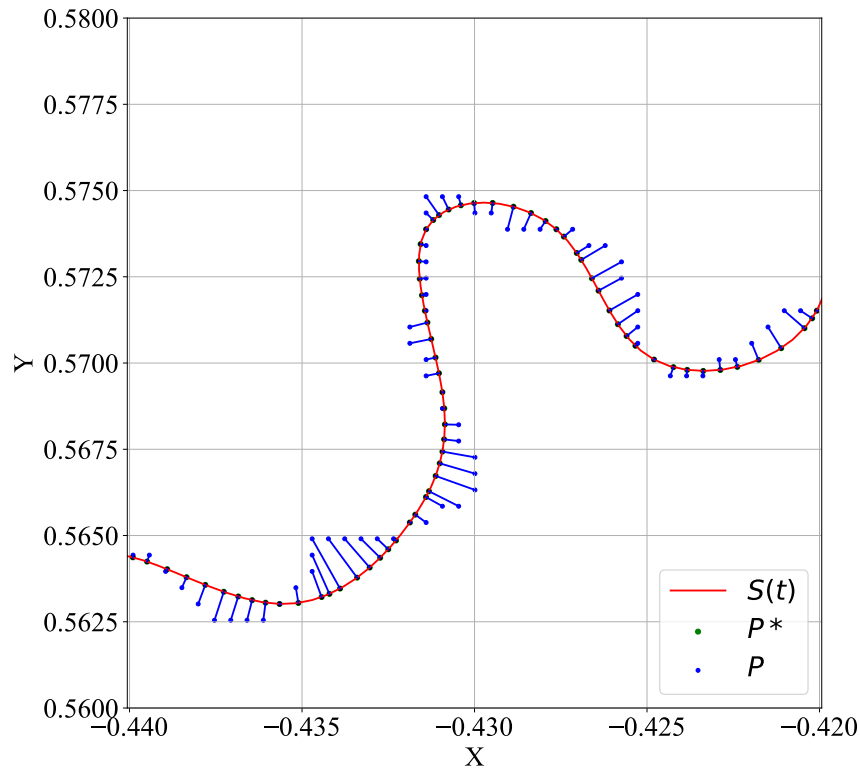


Рис. 5. Визуализация исходного множества P , соединённого с множеством ближайших на сплайне $S(t)$ точек P^*

Результаты оптимизационной задачи:
Среднее отклонение: 0.0004560041387353746
Стандартное отклонение: 0.0004014090087739599

Применение оптимизации приводит к уменьшению среднего отклонения на 0.0000708159328984312 и стандартного отклонения на 0.000005452437807142. С учетом вычисленной средней оценки погрешности в 0.0004914121051845902, относительная погрешность для среднего отклонения составляет 13.42% и для стандартного отклонения — 1.34%. Эти результаты указывают на улучшенное приближение сплайна к исходным данным после оптимизации.

Заключение

В ходе лабораторной работы были выполнены следующие задачи:



1. В файле `contours.txt` сформирован фрагмент границы множества Мандельброта.
2. Загружено и визуализировано множество точек P из файла `contours.txt`.
3. Сформировано разреженное множество интерполяционных узлов \hat{P} с использованием параметра $M = 10$.
4. Найдены коэффициенты a_{jk} и b_{jk} для кубического сплайна.
5. Вычислены расстояния между исходными и интерполированными точками.
6. Визуализирован результат интерполяции кубическими сплайнами. Определены причины наблюдаемой ошибки интерполяции, а так же способы её уменьшения.
7. Разработана функция `lab1_base` для автоматизации этапов базовой части.
8. Разработан класс *AutoDiffNum* для автоматического вычисления производных с использованием дуальных чисел.
9. Реализован автоматический расчет первой производной кубического сплайна.
10. Реализована функция построения нормали к вектору сплайна.
11. В соответствующих точках сплайна визуализированы векторы $G(t_j)$ и $R(t_j)$.
12. Решенна оптимизационная задача, результаты проанализированы.

Список использованных источников

1. Першин А.Ю. Лекции по курсу «Вычислительная математика». Москва, 2018-2021. С. 140. URL: <https://archrk6.bmstu.ru/index.php/f/810046>.
2. Соколов, А.П. Инструкция по выполнению лабораторных работ (общая). Москва: Соколов, А.П., 2018-2021. С. 9. URL: <https://archrk6.bmstu.ru>. (облачный сервис кафедры РК6).
3. Першин А.Ю., Соколов А.П., Гудым А.В. Сборник постановок задач на лабораторные работы по курсу «Вычислительная математика»: Учебное пособие. [Электронный ресурс]. Москва, 2023. С. 47. URL: <https://archrk6.bmstu.ru>. (облачный сервис кафедры РК6).

Выходные данные

Рогалева Ю.А. Отчет о выполнении лабораторной работы по дисциплине «Вычислительная математика». [Электронный ресурс] — Москва: 2023. — 14 с. URL: <https://sa2systems.ru:88> (система контроля версий кафедры РК6)

Постановка:  аспирант кафедры РК-6, Гудым А.В.
Решение и вёрстка:  студент группы РК6-52Б, Рогалева Ю.А.

2023, осенний семестр